УДК 001.894:612

РЕАЛЬНОСТЬ ЭНЕРГОИНФОРМАЦИОННОЙ (АКУПУНКТУРНОЙ) СИСТЕМЫ. НЕИЗВЕСТНЫЕ БИОФИЗИЧЕСКИЕ ФЕНОМЕНЫ ФАЗ (ИНФОРМАЦИЯ-26).

В.Г. Макац, Д.В. Макац, Е.Ф. Макац, Д.В. Макац

Украинский НИИ медицины транспорта МЗ Украины (сотрудничающий центр ВОЗ)

Мы уже упоминали, что диагностическую стабильность вегетативной биодиагностики (ВБД) по В.Макацу удалось достичь только на основе открытых нами неизвестных ранее биофизических феноменов функционально активных зон (ФАЗ): "Асинхронной активности симметричных ФАЗ кожи", "Суммарной биоэлектрической активности симметричных ФАЗ кожи" и др. Пришло время знакомиться с ними...

1) Феномен симметричной асинхронности ФАЗ. Нами открыт неизвестный ранее феномен асинхронности, или биофизической фрактальности симметричных ФАЗ. Его суть заключается во временном преобладании биоэлектрической активности в одной из парных симметричных зон (каналов, систем) при их одновременном тестировании. Обнаруженный феномен длительный во времени, индивидуально разнонаправленный и характерен как для симметричных ФАЗ, так и для симметричных функциональных каналов. В процессе изучения вопроса было обнаружено пять типов временной симметричной асинхронности.

1) *Первый тип – уравновешенный*, когда в течение определённого времени биоэлектрическая активность двух симметричных ФАЗ практически сопоставима (рис. 1а).

2) Второй тип – билатеральный, когда в течение определённого времени биоэлектрическая активность одной из симметричных ФАЗ равномерно и периодически преобладает над другой (рис. 1б).

3) *Третий тип – временный правосторонний*, когда в течение определённого времени наблюдается преимущество биоэлектрической активности правой симметричной ФАЗ (рис. 1в).

4) *Четвертый тип – временный левосторонний*, когда в течение определённого времени наблюдается преимущество биоэлектрической активности левой симметричной ФАЗ (рис. 1г).

5) *Пятый тип – смешанный*, когда в течение определённого времени можно встретить чередование предыдущих типов симметричной асинхронности.

Рис.1 Типы временной симметричной асинхронности ФАЗ:

а) уравновешенный тип

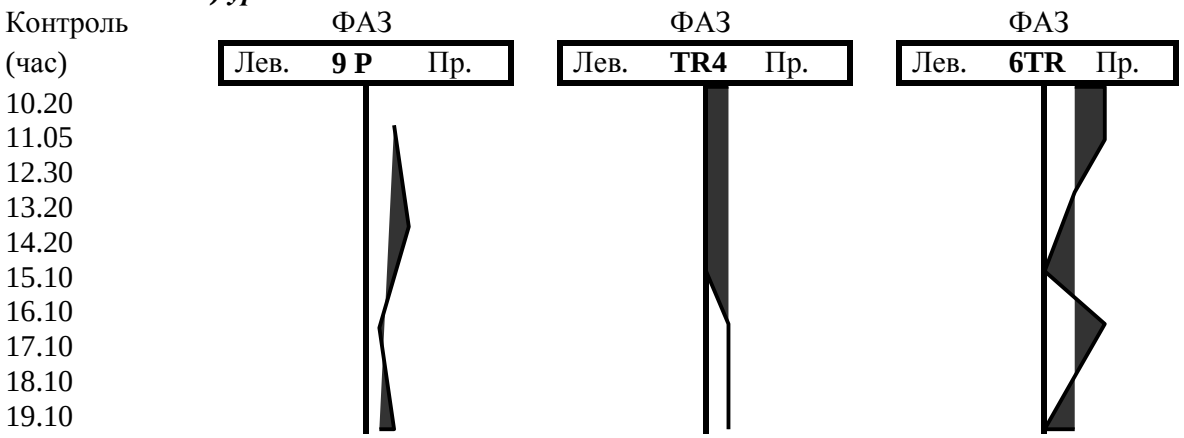

б) билатеральный тип

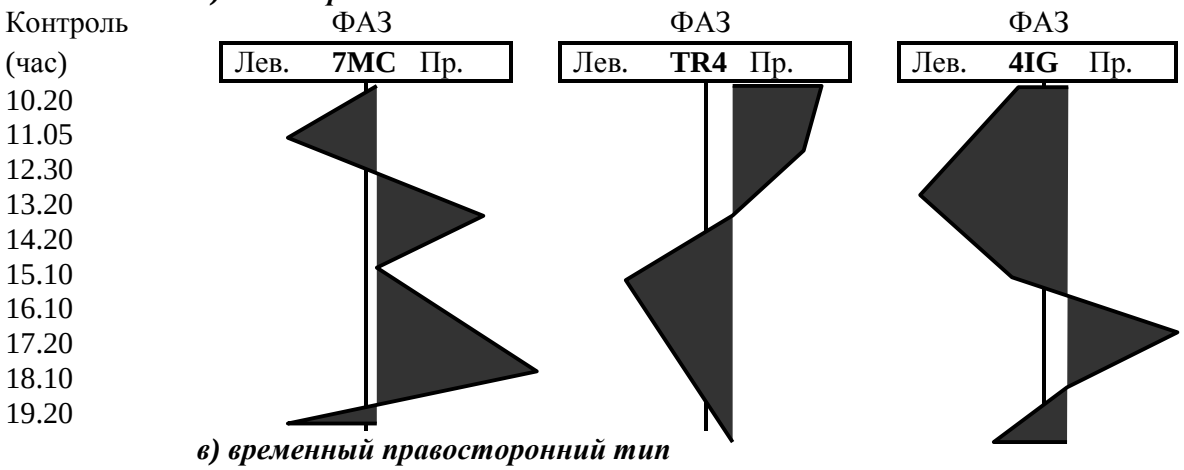

в) временный правосторонний тип

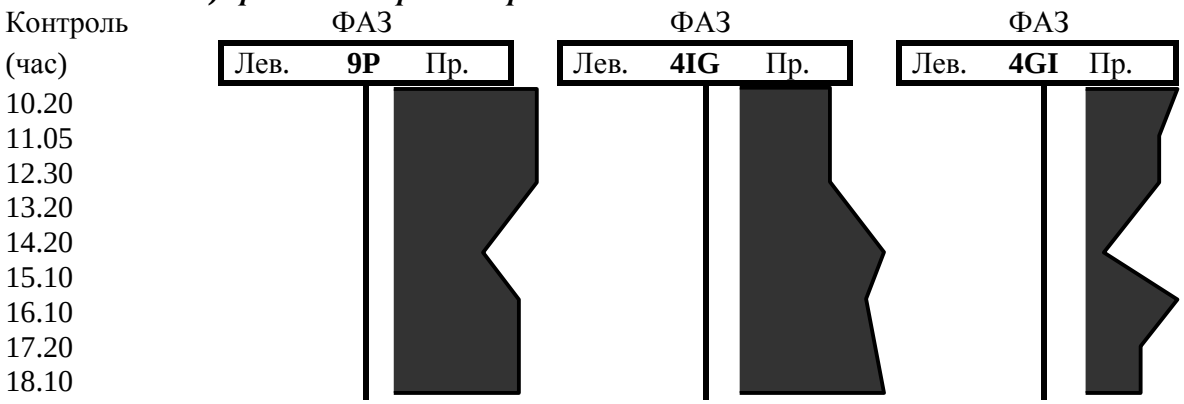

г) временный левосторонний тип

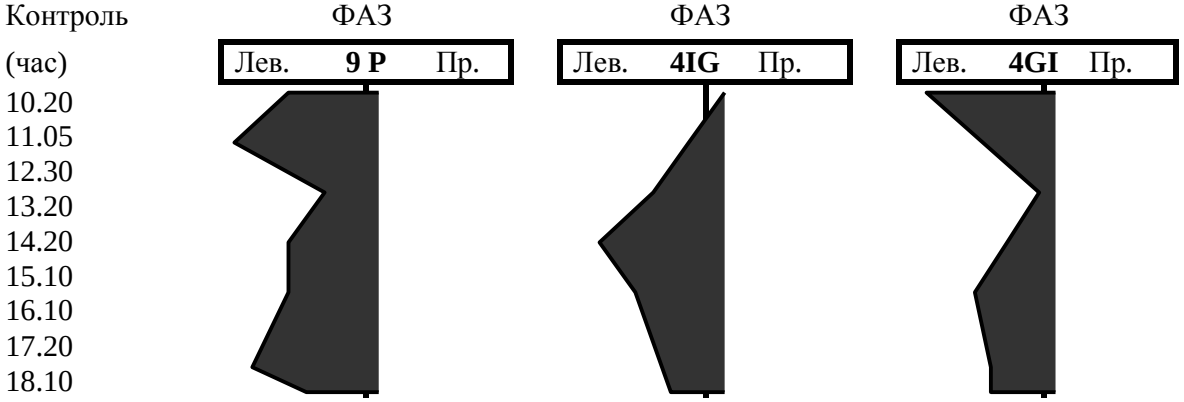

Реальность выяленного феномена подтверждают и ниже представленные грфические записи…

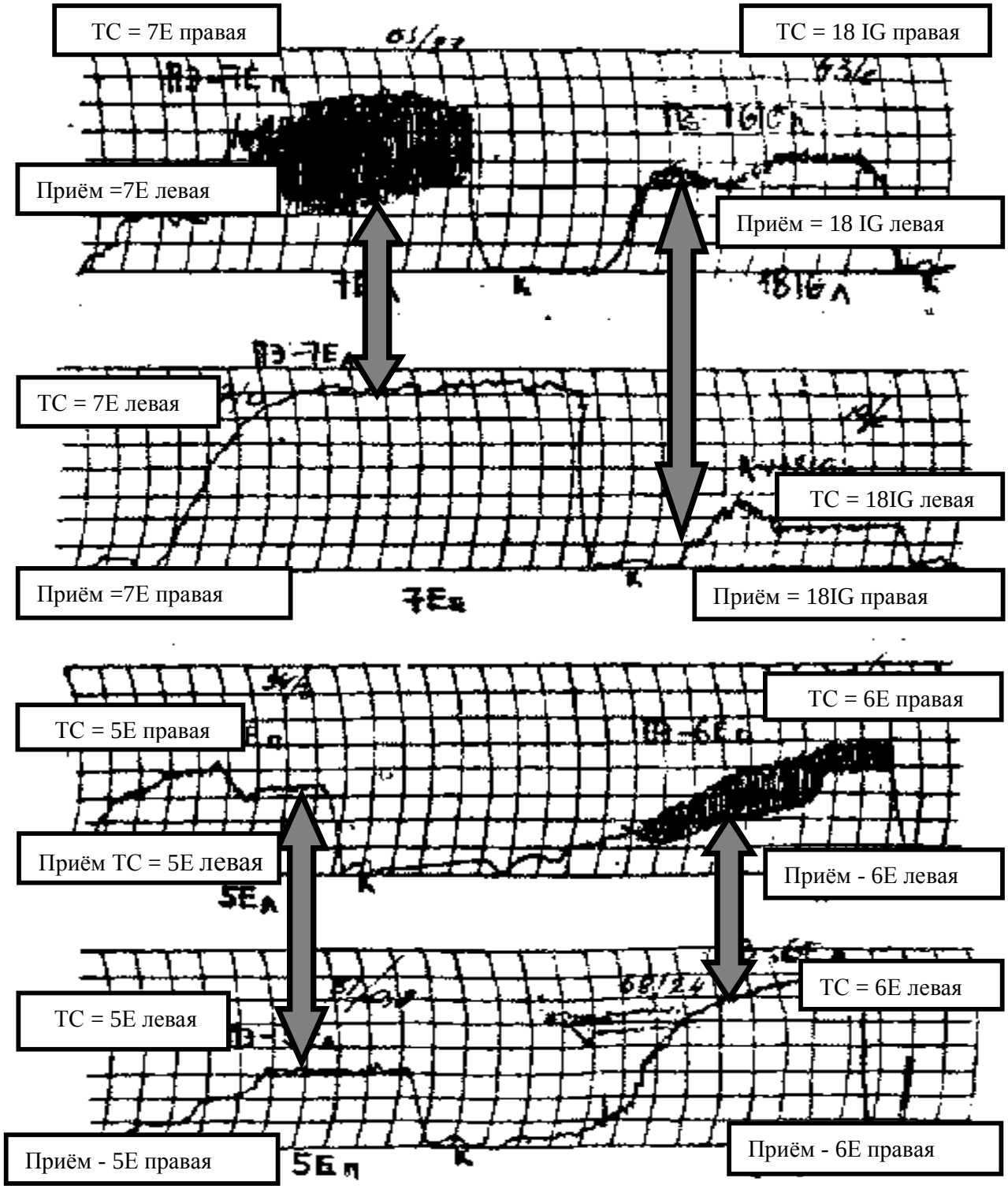

<u>Примечание</u>: ТС (Тестовый сигнал) = ФАЗ подачи.

При этом следует заметить, что одновременные наблюдения за биоэлектрической активностью пары ФАЗ разных каналов также показывают разные типы взаимоотношений.

Возникает вопрос, а сохраняется ли феномен симметричной асинхронности в парных функциональных системах?

2) Феномен симметричной асинхронности функциональных систем. Наблюдения свидетельствуют, что феномен фрактальности (симметричной асинхронности) закономерно наблюдается и между отдельными симметричными каналами. Примером служат представленные графические записи биоэлектрической активности левого и правого канала Р (лёгкие) между зонами P^9 и P^5.

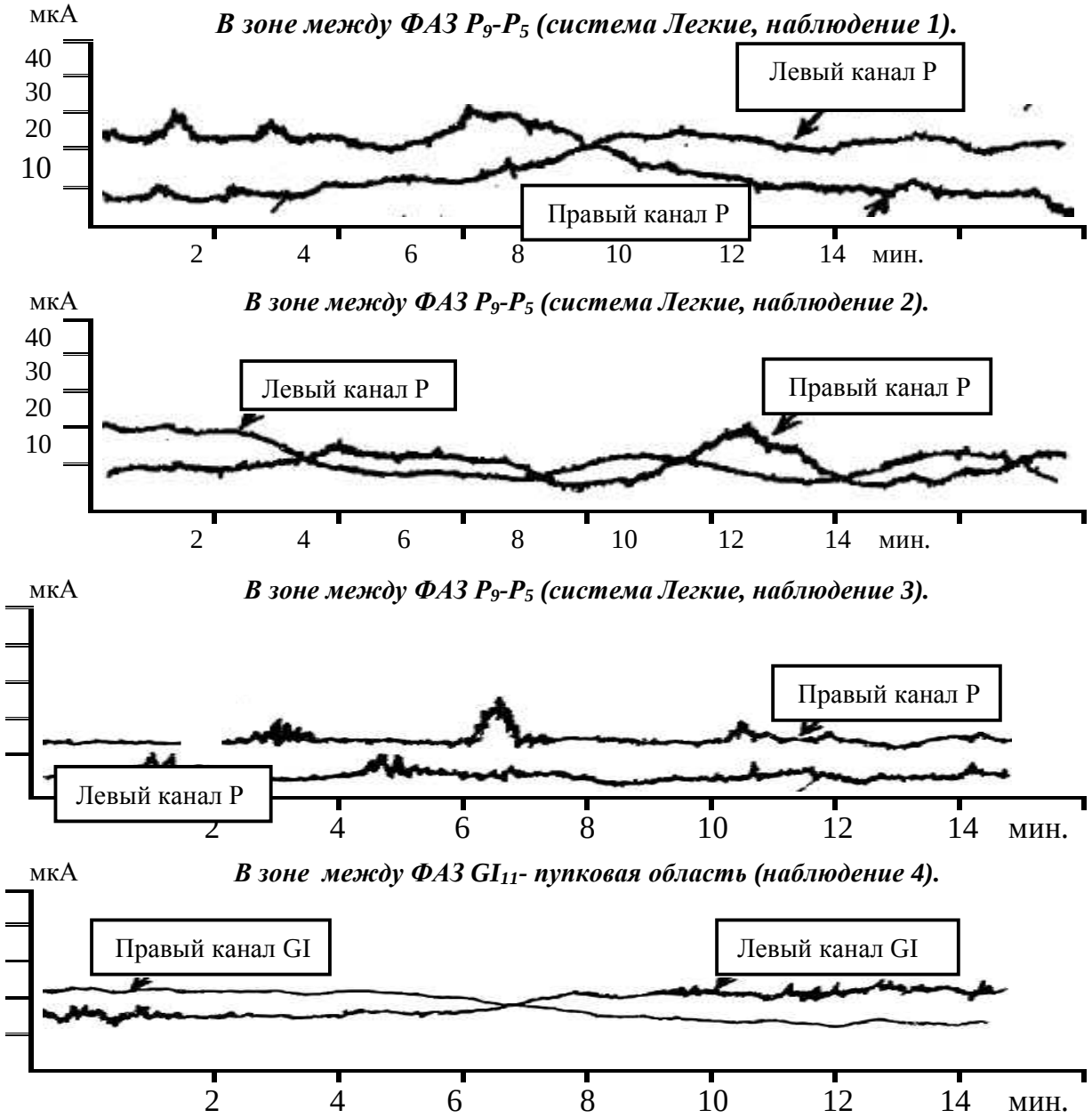

В зоне между ФАЗ P_9-P_5 (система Легкие, наблюдение 1).

В зоне между ФАЗ P_9-P_5 (система Легкие, наблюдение 2).

В зоне между ФАЗ P_9-P_5 (система Легкие, наблюдение 3).

В зоне между ФАЗ GI_{11}- пупковая область (наблюдение 4).

3) Феномен суммарной биоэлектрической активности симметричных ФАЗ. Биофизическая реальность феномена суммарной биоэлектрической активности при одновременном тестировании симметричных ФАЗ стала одним из базовых принципов разработанной нами методологии ВБД. Феномен чётко возникает в симметричных парах функционально

активных зон при их одновременном тестировании специальным (спаренным) электродом ДЭ с одним общим выходом на прибор контроля. Методологические особенности разработанного средства функциональной биодиагностики обусловлены заявками в Госпатент СССР №№ 4475311/ 14-127757, 4475311/14 (127757), В3402902, В3402901/02/576, 94030787, 4641799 /14 (139512) и 4903902/14-99281. Но в приснопамятные годы гипотеза об энергоинформационной системе официальным лицам показалась абсурдной…

Как видно по материалам таблицы, поочередное тестирование правой и левой симметричных функционально активных зон свидетельствует о их асинхронной биоэлектрической активности. Если же две симметричные зоны одновременно тестировать специальным (спаренным) электродом ДЭ с одним общим выходом через измерительный блок к электроду АЭ, мы получим значение их суммарной БЭА (при этом некоторое отличие полученных и расчетных показателей не имеет существенного значения). И хотя открытый феномен сегодня не имеет корректного биофизического объяснения, целесообразность его использования у ВБД не вызывает сомнения.

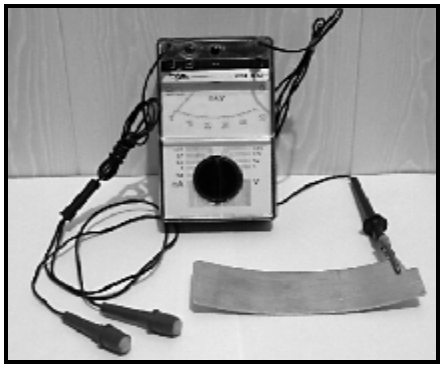

Индивидуальная и суммарная БЭА симметричных ФАЗ (в мкА).

Сторона	Репрезентативные ФАЗ кожи (в символике ВБД)											
	H1	H2	H3	H4	H5	H6	F1	F2	F3	F4	F5	F6
Наблюдение 12.10.2005 р. (Свидерская О., 19 лет)												
Левая	0,3	17	3,9	7	5	15	4,4	1,8	9	1,6	9,5	2,6
Правая	1,4	12,5	3	12	5	10	3	1,4	11	5,2	0,8	6
Σ БЭА	1,7	29,5	**7**	19	10	**24,5**	7,4	3,2	20	6,8	10,1	8,6
Наблюдение 12.10.2005 р. (Костюк В., 20 лет)												
Левая	7	6,3	4	8,5	2,8	3,8	10	6	2,6	7,4	3,5	5,2
Правая	7	10,5	7,2	4	3,3	6,5	6,8	3,5	2	4,2	7,4	2,6
Σ БЭА	14	**17**	11,2	12,5	6,1	10,3	16,8	9,5	4,6	11,6	**11**	7,8
Наблюдение 12.10.2005 р. (Кафарська О., 25 лет)												
Левая	0,9	0,8	2,5	0,8	0,5	6	0,9	2,6	3,3	1	0,8	3
Правая	0,3	0,5	0,5	1,6	1,5	6,3	0,7	2,2	1,6	0,7	0,5	1,7
Σ БЭА	1,2	1,3	3	2,4	2	**12**	1,6	4,8	**5**	1,7	1,3	4,7
Наблюдение 12.10.2005 р. (Сокур М., 20 лет)												
Левая	8	11	10	11	4,8	5	11	8	18	15	7	3,4
Правая	7,8	5	7	9	4,8	4,8	12,8	7,5	16,4	11	8,5	5
Σ БЭА	15,8	16	**16,5**	20	9,6	9,8	23,8	15,5	34,4	26	15,5	8,4
Наблюдение 12.10.2005 р. (Процык А., 28 лет)												
Левая	4	4,9	5	4,8	2,4	0,8	3,2	7	8	1,6	3,6	5,5
Правая	1,8	4	2,4	0,8	1,6	0,5	2,8	2,4	9,2	6,2	1,7	3
Σ БЭА	**6**	**9**	7,4	5,6	4	**1,8**	6	9,4	17,2	**7,5**	5,4	8,5

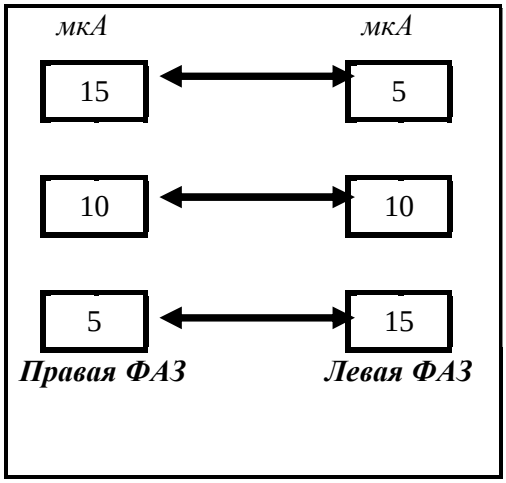

Методологическую суть феномена объясняет следующее. Трёхкратное (в течение 15-20 мин.) тестирование правой и левой симметричных ФАЗ указывает на симметричную асинхронность. При этом если права ФАЗ условно покажет волну спада (15-10-5 мкА), то её левый аналог, наоборот, волну подъема (условно обратные значения 5-10-15мкА). Если же указанные симметричные ФАЗ одновременно протестировать сдвоенным электродом ДЭ с одним общим выходом на измерительный блок, мы получим стабильно суммарные результаты: 20-20-20 мкА. При этом следует отметить четкую закономерность открытого феномена. И хотя последний не имеет корректного объяснения, целесообразность его использования в диагностической практике не вызывает сомнений и

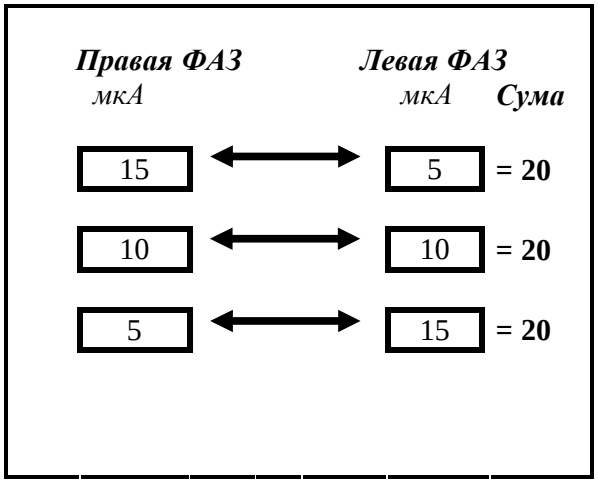

имеет ощутимые преимущества: 1) позволяет вдвое уменьшить объём вегетативной биодиагностики (вместо 24 ФАЗ измеряется общая активность только в 12-ти симметричных парах; 2) тестированием определяют не переменную во времени колебательную активность отдельных зон (симметричную асинхронность), а стабильные во времени показатели суммарной биоэлектрической активности отдельных функциональных пар симметричных ФАЗ; 3) использование "0-зоны" (область расположения опорного электрода АЭ) обусловливает равную удалённость репрезентативных ФАЗ, что создает однотипные условия.

4) Феномен функционально направленного транспорта энергоносителей. Обнаруженный нами феномен между одноканальными зонами функциональной системы Легкие (Р), стал биофизической поддержкой канонического утверждения о его центробежности. Так, противоположно инициированный транспорт зарядоносителей по каналу Р однозначно снижал биоэлектрическую активность его ФАЗ… Феномен однозначно указывает на реальность вентильного механизма, иными словами на естественную центробежную активности указанной системы.

Ввиду принципиальности вопроса, наводим технические условия изучения направленной электропроводимости канала. Параметры тестирующего сигнала (ТС) были оптимальными для его графической объективизации: синусоидальная формы, равно переменный,

1В, 2,5 Гц при чувствительности самописца 0,5 В/см и скорости лентопротяжного механизма 1 мм/сек. Перед каждым тестированием на ленте самописца на коротком замыкании фиксировалась амплитуда ТС, принимаемая за 100%.

Электропроводимость ФАЗ Легких после тестирования рассчитывалась в % от величины ТС. На первом этапе ТС подавался на ФАЗ P^{13} (Шао-шан), а другие зоны канала тестировались в порядке от P^{11} до P^{3} (против канонического движения ЧИ). На втором этапе ТС подавался на ФАЗ P^{3} (Тянь-фу), а порядок тестирования от P^{3} до P^{11} отвечал канонической направленности.

В конечном итоге 297 наблюдений показали: а) ФАЗ проводят сигналы разными по амплитуде, не трансформируя их формообразующих и частотных характеристик; б) смещение электрода с зоны ФАЗ ведет к уменьшению начальной амплитуды ТС на 90,2-98,5%. Феномен направленного транспорта отмечен и при использование электродной пары ДЭ-АЭ. В данном случае максимальная проводимость была при позиции электрода ДЭ на ФАЗ P^{3} а АЭ - поочередно от P^{4} до P^{11}.

Считаем необходимым обратить внимание, что изучение вентильных канальных эффектов имеет значительную перспективу (наши работы следует рассматривать как методологический аспект проблемы). Так что поле для исследований открыто...

Вентильный эффект между ФАЗ правого канала Легкие (примеры)

% а) Наблюдение 1-б

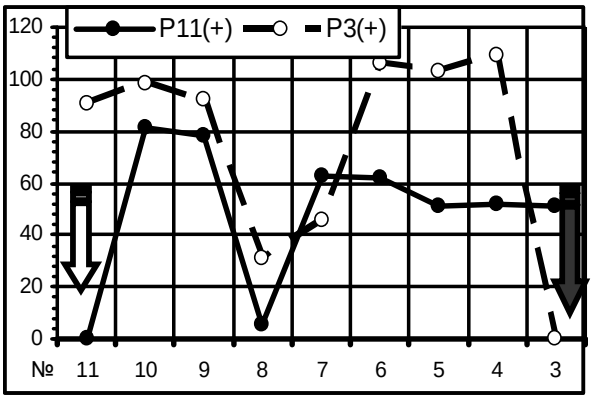

% б) Наблюдение 3-а

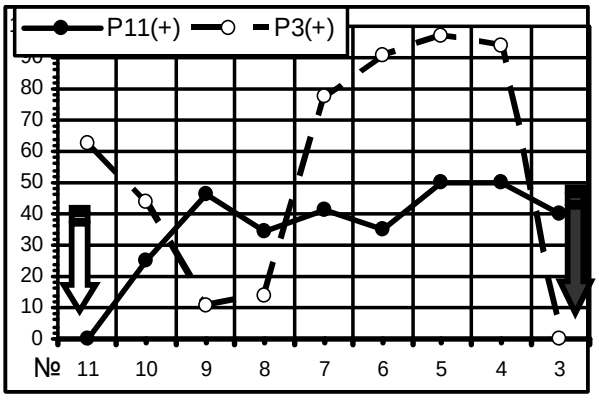

% в) Наблюдение 5-б

% г) Наблюдение 6-б

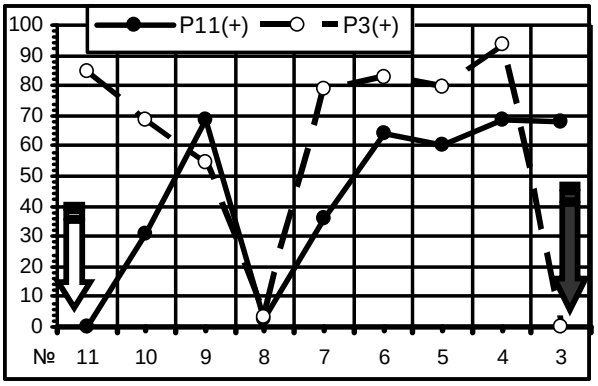

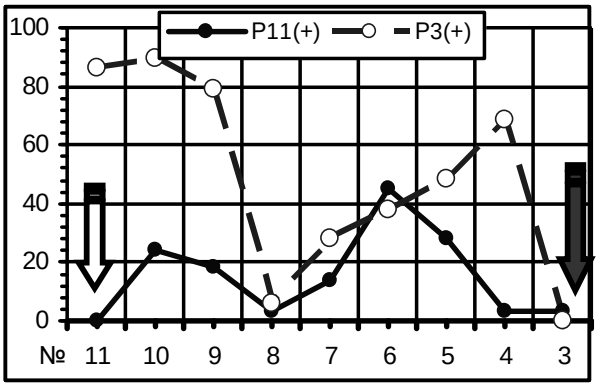

% д) Наблюдение 7-б

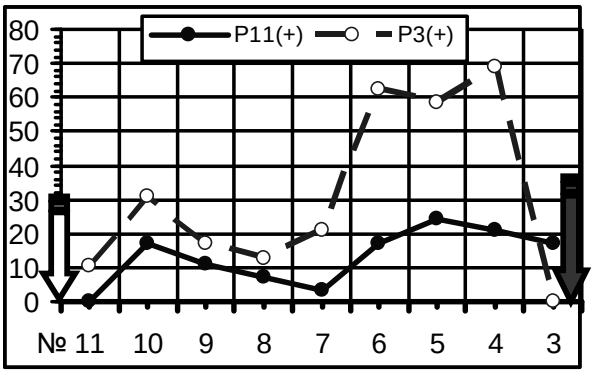

% є) Наблюдение 9-а

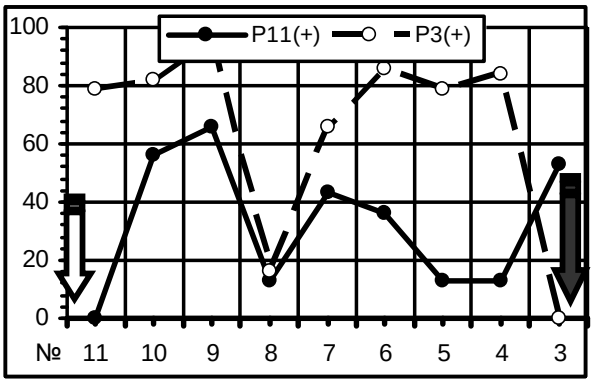

Вентильный эффект между одноканальными ФАЗ (средние данные)

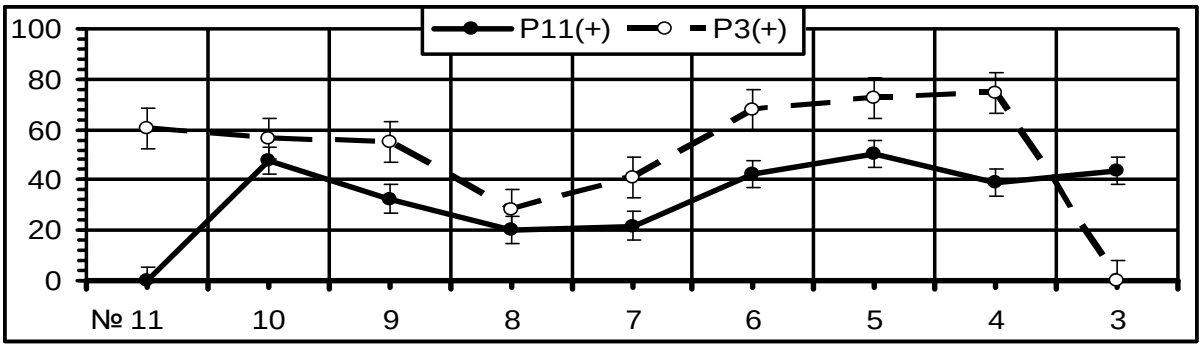

Вентильный эффект между симметричными ФАЗ канала Желудок

Тест-сигнал: с 7Е правой до 7Е левой

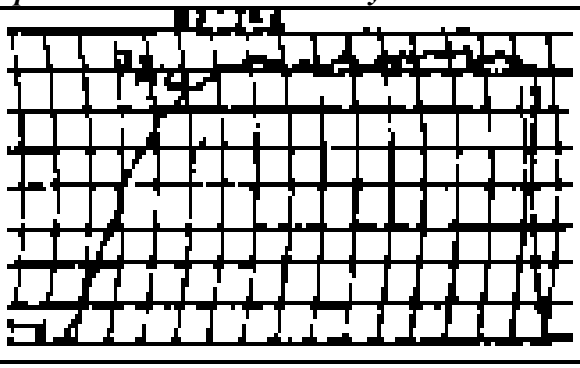

Тест-сигнал: с 7Е левой до 7Е правой

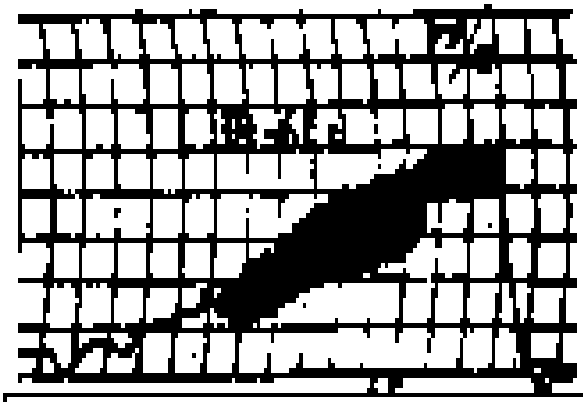

Тест-сигнал: с 6Е правой до 6Е левой

Тест-сигнал: с 6Е левой до 6Е правой

Вентильный эффект между односторонними ФАЗ разных каналов

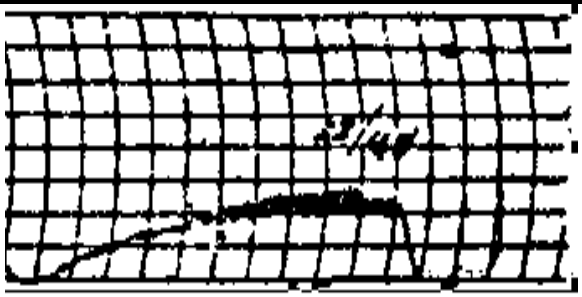

Тест-сигнал: с7Е левой до 6Е левой

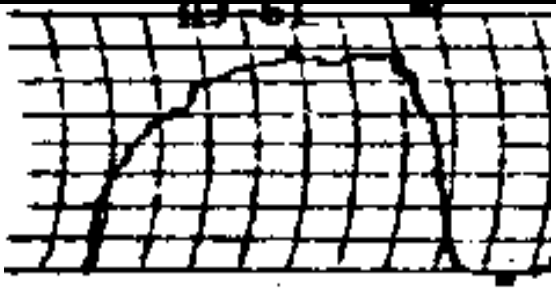

Тест-сигнал: с 6Е левой до 7Е левой

Тест-сигнал: с 7Е левой до 5Е левой

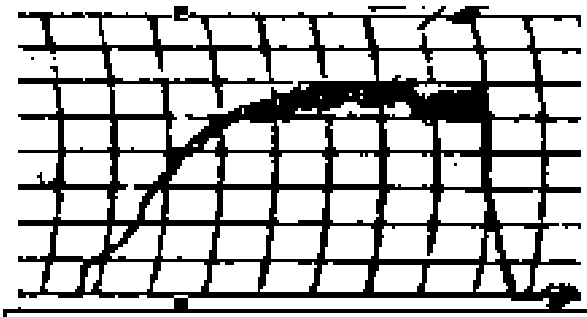

Тест-сигнал: с 5Е левой до 7Е левой

Тест-сигнал: с 7Е левой до 18 IG левой

Тест-сигнал: с 18IG лев. до 7Е левой

5) Феномен контактного электронного обмена между биологическими объектами. Между отдельными биологическими объектами существует энергоинформационный (электронный) обмен. О нём свидетельствует реальность биоэлектрической цепи,

которую формируют несколько биологических объектов между двумя электродами (ДЭ-АЭ), (в наведенном примере 18 человек; рис.1).

Рис.1 Количество людей в общей цепи между электродами ДЭ и АЭ

Между отдельными функциональными системами двух биологических объектов также можно организовать электронный обмен. При этом в цепи объекта с низкой активностью отмечается её многократное (в 7,9-195 раз) усиление, а в цепи объекта с большой - незначительное (в 0,6-0,9 раз) ослабление.

Феномен контактного электронного обмена между объектами					
БЭА 1-й цепи между ФАЗ P^5-P^9 (Легкие)		БЭА 2-й цепи (правая и левая стопы)		Кратность изменения БЭА	
до контакта с 2-й цепью	после контакта со 2-й	до контакта с 1-й цепью	после контакта с 1-й	в 1-й цепи	во 2-й цепи
3,2 мкА	25,5 мкА	235 мкА	185 мкА	8,0	0,8
0,2 мкА	38,5 мкА	370 мкА	290 мкА	182,5	0,8
5,2 мкА	24,0 мкА	215 мкА	180 мкА	4,6	0,8

При этом, согласно разработанной методологии, электродная пара ДЭ-АЭ (образующих первую цепь) располагается на ФАЗ нужной системы первого объекта, а вторая - на интегральных рефлексогенных зонах (ладони, стопы) второго. При этом расположение первой пары электродов должно совпадать с энергетической направленностью канала, а электроды ДЭ и АЭ обеих цепей дополнительно объединяются между собой.

6) Феномен системной зависимости на примере ФС "Лёгкие-Р". Установлено, что на возбуждение любой функциональной системы (ФС) каналы реагируют возбуждением, угнетением или парадоксальной реакцией (особенностью последней является развитие противоположного состояния на избыточную активность ведущей).

В свою очередь каждая функциональная система также реагирует на возбуждение других ФС всеми типами обнаруженных специфических реакций (возбуждением, угнетением и парадоксальной).

Итак…

а) Реакция каналов на возбуждение функциональной системы Р (Легкие)

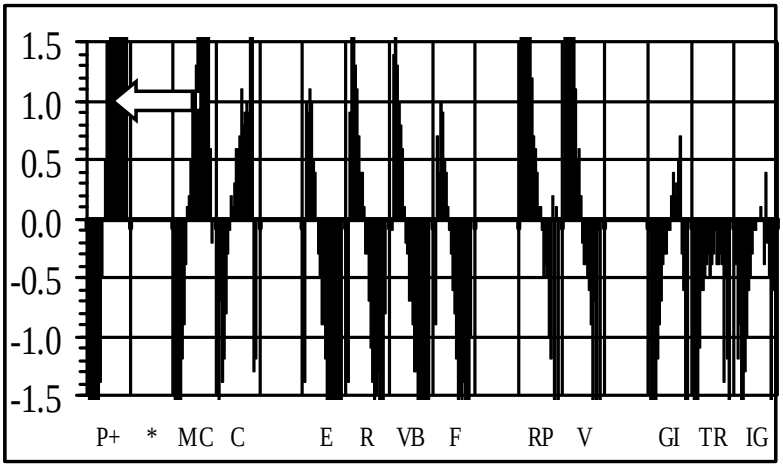

Параллельное возбуждение:
MC-C
Параллельное угнетение:
E-R-VB-F и RP-V
Параллельные парадоксальные реакции:
GI-TR-IG

б) Реакция функциональной системы Р на возбуждение других каналов...

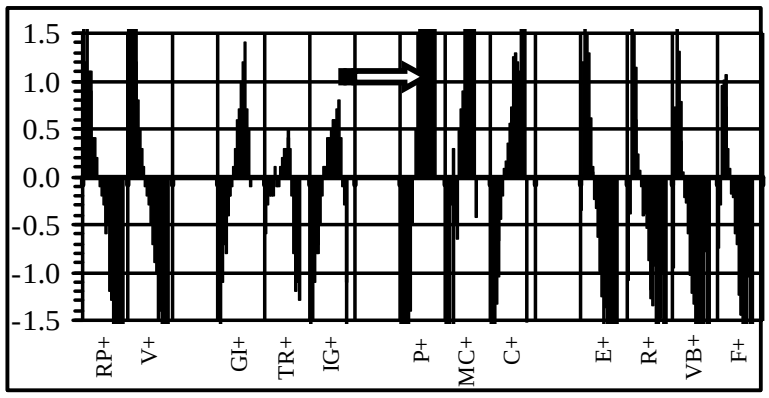

Возхбуждение на (+):
MC-C.
Угнетение на (+):
RP-V, E-R-VB-F.
Парадоксальная реакция на (+):
GI-TR-IG.

7) Феномен функционально-энергетических комплексов на примере двух систем ФК-2 (GI-TR). В каждом комплексе возбуждение (или угнетение) одной из его функциональных систем одновременно обусловливает возбуждение (или угнетение) остальных и, наоборот. Обнаружены четыре группы таких функционально-энергетических структур: ФК-1 (куда входят RP-V); ФК-2 (куда входят GI-TR-IG), ФК-3 (куда входят P-MC-C) и ФК-4 (куда входят E-R-VB-F). При этом каждая система (фактически каждый ФК!), не нарушая традиционной топографии Большого круга, последовательно занимает свое место в его системе.

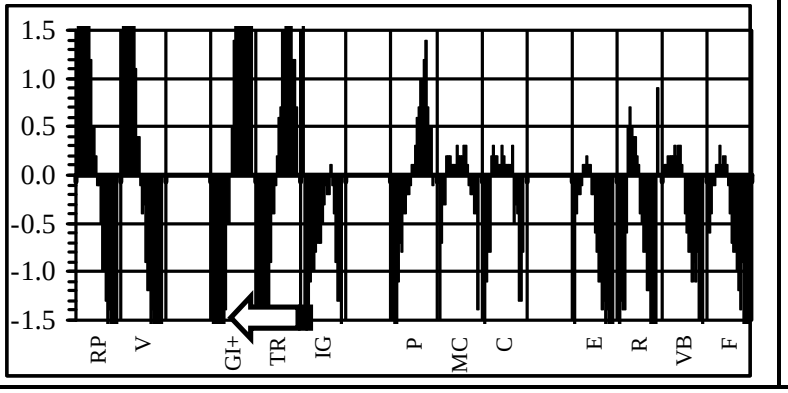

При возбуждении GI формируются:

ФК-2 ***(GI-TR-IG);***
ФК-3 ***(P-MC-C);***
ФК-4 ***(E-R-VB-F).***
ФК-1 ***(RP-V).***

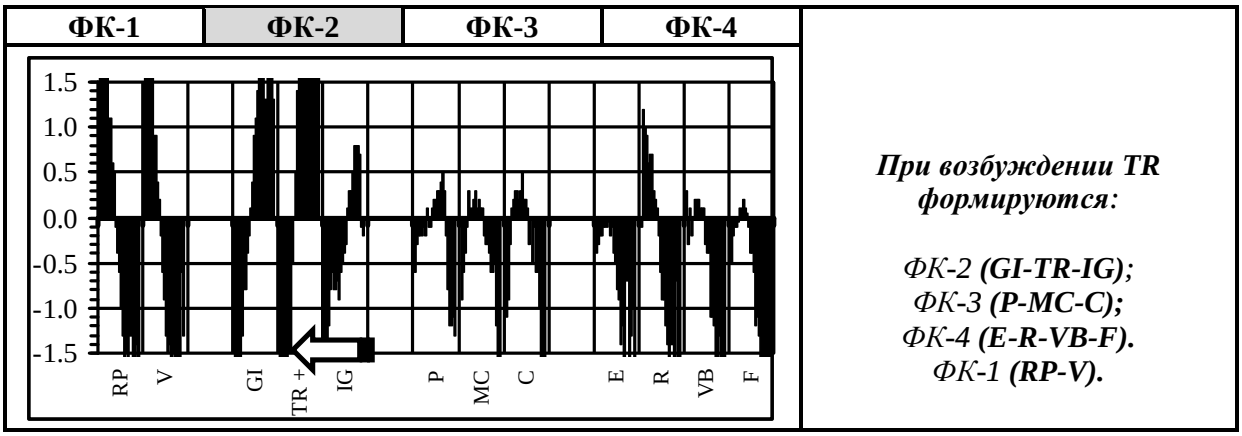

8) Феномен парадоксальных реакций на примере системы IG (ФК-2) . Две разнонаправленные части парадоксальной реакции каждого конкретного канала в переломный момент обусловливают противоположно направленную реакцию зависимых систем. Открытый биофизический феномен направлен на постоянную поддержку динамического постоянства внутренней среды. Не вызывает сомнений их участие в механизмах регуляции вегетативного гомеостаза.

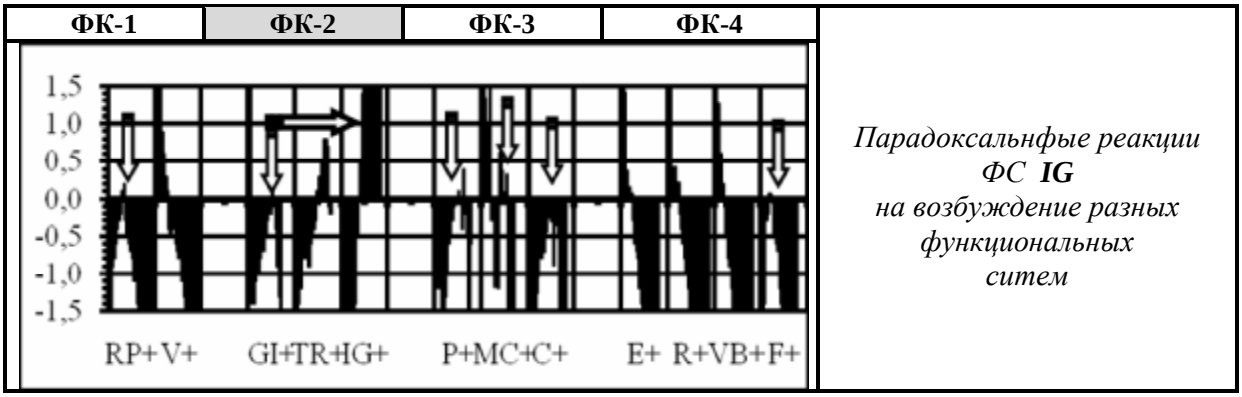

9) Феномен Энергетической Матрицы Живого. Открытые биофизические феномены, в конце-концов, позволили выявить неизвестную ранее структуру: Энергоинформационную Матрицу! Её открытие увязало все феномены в логически обусловленную геометрию Живого и позволило раскрыть биофизические механизмы сано- и патогенеза вегетативных нарушений…

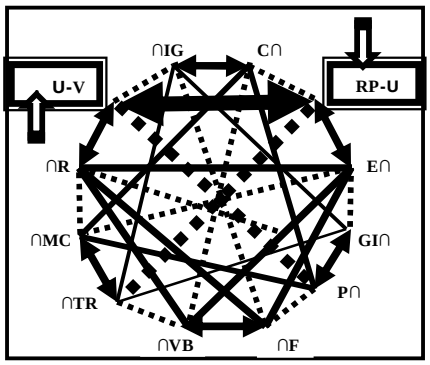

О других выявленных биофизических феноменах поговорим в информации-27.

Литература.

1. Макац В.Г. Биогальванизация в физио- и рефлексотерапии (экспериментально-клинические исследования) // Автореферат диссертации на соискание учёной степени доктора медицинских наук (14.00.34–курортология и физиотерапия). Пятигорск. 1992. 47с.
2. Макац В.Г., Нагайчук В.И., Макац Д.В., Макац Д.В. Основы биоактивационной медицины (открыта функционально-энергетическая система биологических объектов) // Винница. 2001. 315с. ISBN 966-7993-16-7 (на украинском языке)
3. Makats V., Makats D., Makats E., Makats D. Power-informational system of the person (biophysical basics of Chinese Chzhen-tszju Therapy). // Vinnitsa. 2005. Part 1. 212p. ISBN 966-821-3238 (на английском языке).
4. Макац В.Г., Макац Е.Ф., Макац Д.В., Макац Д.В. Энергоинформационная система человека (ошибки и реальность китайской Чжень-цзю терапии). // Винница. 2007. Том 1. 367с. ISBN 966-8300-27-0 966-8300-26-2 (на украинском языке).
5. Макац В.Г., Макац Е.Ф., Макац Д.В., Макац Д.В. Энергоинформационная система человека (биодиагностика и реабилитация вегетативных нарушений). // Винница. 2007. Том 2. 199с. ISBN 966-8300-27-0 966-8300-28-9 (на украинском языке).
6. Макац В.Г., Макац Е.Ф., Макац Д.В., Макац Д.В. Энергоинформационная система человека (вегетативная биодиагностика, основы функционально-экологической экспертизы). // Винница. 2009. Том 3. 175с. ISBN 978-966-2932-80-5 (на украинском языке).
7. Макац В.Г., Макац Д.В., Макац Е.Ф., Макац Д.В. Тайны китайской иглотерапии (ошибки, реальность, проблемы) // Винница. 2009. 450с. ISBN 978-966-2932-80-5 (на русском языке).
8. Макац В.Г., Макац Д.В., Макац Е.Ф., Макац Д.В. Основы вегетативной биодиагностики (ВБД) по В.Макацу (часть шестая). Неизвестные биофизические феномены ФАЗ // http://www.medlinks.ru/article.php?sid=41792 – Альтернативная медицина (информация 24) – 26.07.2010- 12 с.
9. Макац В.Г., Макац Д.В., Макац Е.Ф., Макац Д.В. Реальность энергоинформационной (акупунктурной) системы. Второе доказательство - биофизическая основа открытия (информация-2). // Научный электронный архив академии естествознания. 03.08.2010. URL: http://www.econf.rae.ru/article/5403 (дата обращения 02.08.2010).
10. Макац В.Г., Макац Д.В., Макац Е.Ф., Макац Д.В. Реальность энергоинформационной (акупунктурной) системы. Третье доказательство – эффекты Макаца (информация-3). // Научный электронный архив академии естествознания. 5.08.2010. URL: http://www.econf.rae.ru/article/5405 (дата обращения 03.08.2010).
11. Макац В.Г., Макац Д.В., Макац Е.Ф., Макац Д.В. Реальность энергоинформационной (акупунктурной) системы. Реакции функциональных систем на возбуждение и угнетение отдельных каналов (информация-4). // Научный электронный архив академии естествознания. 17.08.2010. URL: http://www.econf.rae.ru/article/5407 (дата обращения 05.08.2010).
12. Макац В.Г., Макац Д.В., Макац Е.Ф., Макац Д.В. Реальность энергоинформационной (акупунктурной) системы. Реакции функциональных систем на возбуждение разных "каналов" (информация-5). // Научный электронный архив академии естествознания. 17.08.2010. URL: http://www.econf.rae.ru/article/5408 (дата обращения 12.08.2010).
13. Макац В.Г., Макац Д.В., Макац Е.Ф., Макац Д.В. Реальность энергоинформационной (акупунктурной) системы. Функциональные системные комплексы (информация-6). // Научный электронный архив академии естествознания. 17.08.2010. URL: http://www.econf.rae.ru/article/5409 (дата обращения 15.08.2010).
14. Макац В.Г., Макац Д.В., Макац Е.Ф., Макац Д.В. Реальность энергоинформационной (акупунктурной) системы. Взаимозависимость функциональных комплексов (информация-7). // Научный электронный архив академии естествознания. 17.08.2010. URL: http://www.econf.rae.ru/article/5410. (дата обращения 15.08.2010).
15. Макац В.Г., Макац Д.В., Макац Е.Ф., Макац Д.В. Реальность энергоинформационной (акупунктурной) системы. Биофизический феномен парадоксальных реакций (информация-8). // Научный электронный архив академии естествознания. 25.08.2010. URL: http://www.econf.rae.ru/article/5428 (дата обращения 17.08.2010).
16. Макац В.Г., Макац Д.В., Макац Е.Ф., Макац Д.В. Реальность энергоинформационной (акупунктурной) системы. Парадоксальные реакции как зоны биофизического конфликта (информация-9). // Научный электронный архив академии естествознания. 25.08.2010. URL: http://www.econf.rae.ru/article/5427 (дата обращения 17.08.2010).
17. Макац В.Г., Макац Д.В., Макац Е.Ф., Макац Д.В. Реальность энергоинформационной (акупунктурной) системы. Коэффициенты вегетативного равновесия (k-ВР) и ЯН-ИНЬ синдромы (инфор-

мация-10). // Научный электронный архив академии естествознания. 25.08.2010. http://www.econf.rae.ru/article/5418 (дата обращения 21.08.2010).
18. Макац В.Г., Макац Д.В., Макац Е.Ф., Макац Д.В. Реальность энергоинформационной (акупунктурной) системы. Каналы, вегетативный гомеостаз и вегетативные законы (информация-11). // Научный электронный архив академии естествознания. 25.08.2010. URL: http://www.econf.rae.ru/article/5417 (дата обращения 21.08.2010).
19. Макац В.Г., Макац Д.В., Макац Е.Ф., Макац Д.В. Реальность энергоинформационной (акупунктурной) системы. Функциональные комплексы и вегетативные профили здоровья (информация-12). // Научный электронный архив академии естествознания. 25.08.2010. http://www.econf.rae.ru/article/5416 (дата обращения 22.08.2010).
20. Макац В.Г., Макац Д.В., Макац Е.Ф., Макац Д.В. Реальность энергоинформационной (акупунктурной) системы. Функциональные комплексы – космофизическая зависимость (информация-13). // Научный электронный архив академии естествознания. 08.09.2010. http://www.econf.rae.ru/article/5439, http://www.econf.rae.ru/article/5443, (дата обращения 25 и 29.08.2010).
21. Макац В.Г., Макац Д.В., Макац Е.Ф., Макац Д.В. Реальность энергоинформационной (акупунктурной) системы. Матрица – уровни парадоксальных реакций (информация-14). // Научный электронный архив академии естествознания. 08.09.2010. http://www.econf.rae.ru/article/5438, http://www.econf.rae.ru/article/5442 (дата обращения 26 и 29.08.2010).
22. Макац В.Г., Макац Д.В., Макац Е.Ф., Макац Д.В. Реальность энергоинформационной (акупунктурной) системы. Биофизика матричного прогноза (информация-15). // Научный электронный архив академии естествознания. 08.09.2010. http://www.econf.rae.ru/article/5437, http://www.econf.rae.ru/article/5441 (дата обращения 26 и 29.08.2010).
23. Макац В.Г., Макац Д.В., Макац Е.Ф., Макац Д.В. Реальность энергоинформационной (акупунктурной) системы. Биофизика матричного прогноза (информация-16). // Научный электронный архив академии естествознания. 08.09.2010. http://www.econf.rae.ru/article/5436 (дата обращения 26 и 29.08.2010).
24. Макац В.Г., Макац Д.В., Макац Е.Ф., Макац Д.В. Реальность энергоинформационной (акупунктурной) системы. Биофизика матричного прогноза (информация-17). // Научный электронный архив академии естествознания. 08.09.2010. http://www.econf.rae.ru/article/5440 (дата обращения 29.08.2010).
25. Макац В.Г., Макац Д.В., Макац Е.Ф., Макац Д.В. Реальность энергоинформационной (акупунктурной) системы. Базовые системные биоритмы (информация-18). // Научный электронный архив академии естествознания. 08.09.2010. http://www.econf.rae.ru/article/5433 (дата обращения 3.09.2010).
26. Макац В.Г., Макац Д.В., Макац Е.Ф., Макац Д.В. Реальность энергоинформационной (акупунктурной) системы. Биофизика системного вегетативного патогенеза (информация-19). // Научный электронный архив академии естествознания. 08.09.2010. http://www.econf.rae.ru/article/5430 (дата обращения 5.09.2010).
27. Макац В.Г., Макац Д.В., Макац Е.Ф., Макац Д.В. Реальность энергоинформационной (акупунктурной) системы. Общие проблемы вегетативной диагностики (информация-20). // Научный электронный архив академии естествознания. 12.09.2010. http://www.econf.rae.ru/article/5457 (дата обращения 9.09.2010).
28. Макац В.Г., Макац Д.В., Макац Е.Ф., Макац Д.В. Реальность энергоинформационной (акупунктурной) системы. Вегетативные проблемы акупунктурной диагностики (информация-21). // Научный электронный архив академии естествознания. 12.09.2010. http://www.econf.rae.ru/article/5456 (дата обращения 9.09.2010).
29. Макац В.Г., Макац Д.В., Макац Е.Ф., Макац Д.В. Реальность энергоинформационной (акупунктурной) системы. Электропунктурные технологии как прототипы вегетативной биодиагностики по В.Макацу (информация-22). // Научный электронный архив академии естествознания. 12.09.2010. http://www.econf.rae.ru/article/5452 (дата обращения 9.09.2010).
30. Макац В.Г., Макац Д.В., Макац Е.Ф., Макац Д.В. Реальность энергоинформационной (акупунктурной) системы. Кардиоинтервалография как прототип вегетативной биодиагностики по В.Макацу (информация-23). // Научный электронный архив академии естествознания. 12.09.2010. http://www.econf.rae.ru/article/5451 (дата обращения 10.09.2010).
31. Макац В.Г., Макац Д.В., Макац Е.Ф., Макац Д.В. Реальность энергоинформационной (акупунктурной) системы. Дозиметрическая паспортизация как прототип вегетативной биодиагностики по

В.Макацу (информация-24). // Научный электронный архив академии естествознания. 12.09.2010. http://www.econf.rae.ru/article/5450 (дата обращения 10.09.2010).